

## 5.4 Transiente Analyse

### Lösungen

#### Aufgabe 1

##### a) Frequenzgehalt der Anregung

Der Frequenzgehalt der Anregung wird durch eine Fourier-Transformation bestimmt. Die Anregung wird mit der Funktion `pulse.m` berechnet, die später auch für die transiente Analyse verwendet wird.

```
function y = pulse(t, t0)

# Übungsblatt 5.4: Kraftstoss
#
# -----

nt = length(t);
y = zeros(1, nt);

ix = find(t <= t0);
ts = t(ix) / t0;

y(ix) = sin(pi * ts).^2;

end
```

Das folgende GNU Octave-Skript berechnet die Fourier-Transformation, stellt sie graphisch dar und vergleicht die ursprüngliche Zeitreihe mit der durch Rücktransformation der bei  $f_c = 3/t_0 = 120$  Hz abgeschnittenen Fourier-Transformation. Diese Zeitreihe wird mithilfe der Funktion `resample` berechnet, indem die Abtastrate entsprechend verkleinert wird. Zur besseren Darstellung wird der Zeitschritt anschließend wieder um den Faktor 20 verkleinert.

```
# Übungsblatt 5.4, Aufgabe 1: Elliptische Platte
#
#                               Untersuchung der Belastung
#
# -----

pkg load signal           % Enthält Funktion resample
file = mfilename();

# Daten

t0 = 0.025;              % Impulsdauer
fc = 3;                  % Abschneidefrequenz multipliziert mit t0
```

```

tmax = 5 * t0;      % Länge der Zeitreihe
dt    = 0.02 * t0; % Zeitschritt
t     = 0 : dt : tmax;
nt    = length(t);
fs    = t0 / dt;    % Abtastrate multipliziert mit t0

# Funktionswerte

y = pulse(t, t0);

# Fourier-Transformation divididert durch t0

Y = dt * fft(y) / t0;
f  = (0 : nt - 1) * fs / nt; % f * t0
ixp = floor(0.5 * nt);

# Abschneiden

```

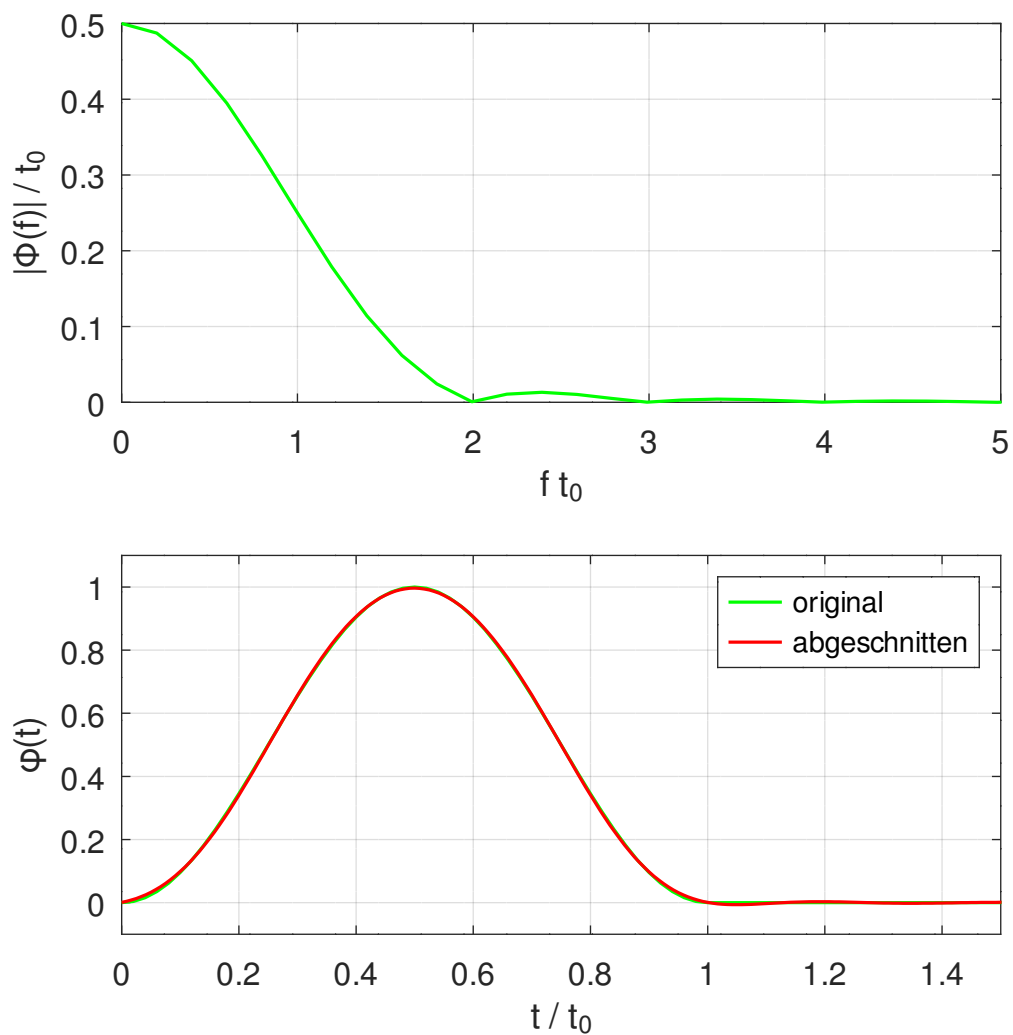


Abbildung 1.1: Anregung und Fourier-Transformation

```

fa = round(0.5 * fs);      % Nyquist-Frequenz mult. mit t0
yc = resample(y, fc, fa); % Downsampling
dtc = dt * fa / fc;
yr = resample(yc, 20, 1); % Upsampling
tr = (0 : length(yr) - 1) * dtc / 20;

```

# Ausgabe

```

figure(1, "position", [100, 100, 700, 700],
       "paperposition", [0, 0, 15, 15]);
subplot(2, 1, 1);
plot(f(1:ixp), abs(Y(1:ixp)), "color", "green");
xlim([0, 5]);
grid;
ylim([0, 0.5]);
xlabel('f t_0');
ylabel('| \Phi(f) | / t_0');
subplot(2, 1, 2);
plot(t/t0, y, "color", "green",
      tr/t0, yr, "color", "red");
legend('original', 'abgeschnitten');
grid;
xlim([0, 1.5]);
ylim([-0.1, 1.1]);
xlabel('t / t_0');
ylabel('\phi(t)');
print([file, ".svg"], "-dsvg");

```

Abbildung 1.1 zeigt, dass der Betrag der Fourier-Transformierten ab einer Frequenz von  $2/t_0$  sehr klein und oberhalb von einer Frequenz von  $3/t_0$  praktisch null ist. Die zur bei  $3/t_0$  abgeschnittenen Fourier-Transformierten gehörende Zeitreihe weicht nur wenig von der gegebenen Zeitreihe ab.

## b) Modalanalyse

Das folgende Gmsh-Skript definiert die Geometrie und die Netzfeinheit. Die Ellipse wird aus vier Ellipsensegmenten zusammengesetzt.

```

/* -----
Übungsblatt 5.4, Aufgabe 1: Elliptische Platte

Physical Groups:  Platte      Surface  Elemente
                  Einspannung Curve      Lagerung
                  Last       Point      Last
                  A         Point      Auswertepunkt
                  B         Point      Auswertepunkt
                  C         Point      Auswertepunkt
                  D         Point      Auswertepunkt
                  E         Point      Auswertepunkt
----- */

// Abmessungen

```

```
DefineConstant [a = 500, // große Halbachse
                b = 375]; // kleine Halbachse

// Netzfeinheit
nofel = GetValue("Anzahl Elemente entlang großer Halbachse = ?",
                25);
elen = a / nofel;

// Ellipsenpunkte
Point(1) = { 0, 0, 0, elen}; // Mittelpunkt
Point(2) = {-a, 0, 0, elen};
Point(3) = { 0, b, 0, elen};
Point(4) = { a, 0, 0, elen};
Point(5) = { 0, -b, 0, elen};

// Brennpunkte
f = Sqrt(a^2 - b^2);
Point(6) = {-f, 0, 0, elen};
Point(7) = { f, 0, 0, elen};

// Weitere Punkte für Auswertung
Point(8) = {-0.5 * f, 0, 0, elen};
Point(9) = { 0.5 * f, 0, 0, elen};

// Ellipsenbögen
Ellipse(1) = {2, 1, 3};
Ellipse(2) = {3, 1, 4};
Ellipse(3) = {4, 1, 5};
Ellipse(4) = {5, 1, 2};

// Fläche
Curve Loop(1) = {1, 2, 3, 4};
Plane Surface(1) = {1};

// Elemente
Physical Surface("Platte") = {1};

// Einspannung
Physical Curve("Einspannung") = {1 : 4};

// Last (linker Brennpunkt)
Physical Point("Last") = {6};

// Auswertepunkte
```

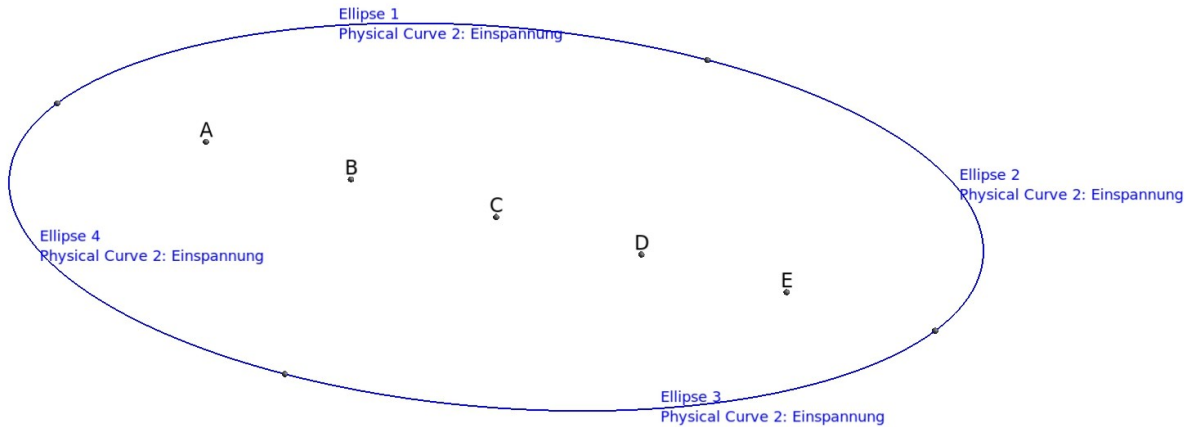


Abbildung 1.2: Geometrie der Platte und Auswertepunkte

```

Physical Point ("A") = {6};
Physical Point ("B") = {8};
Physical Point ("C") = {1};
Physical Point ("D") = {9};
Physical Point ("E") = {7};

// Vernetzung

Point{1, 6 : 9} In Surface {1};

Mesh.RecombineAll = 1;

// Darstellung der Auswertepunkte

fontsize = 24;
fonttype = 4;
textpos = 1;
font = fontsize + 2^8 * fonttype + 2^16 * textpos;

coorA = Point{6};
coorB = Point{8};
coorC = Point{1};
coorD = Point{9};
coorE = Point{7};

View "Auswertepunkte" {
  T3(coorA[0], coorA[1], coorA[2], font){ "A" };
  T3(coorB[0], coorB[1], coorB[2], font){ "B" };
  T3(coorC[0], coorC[1], coorC[2], font){ "C" };
}

```

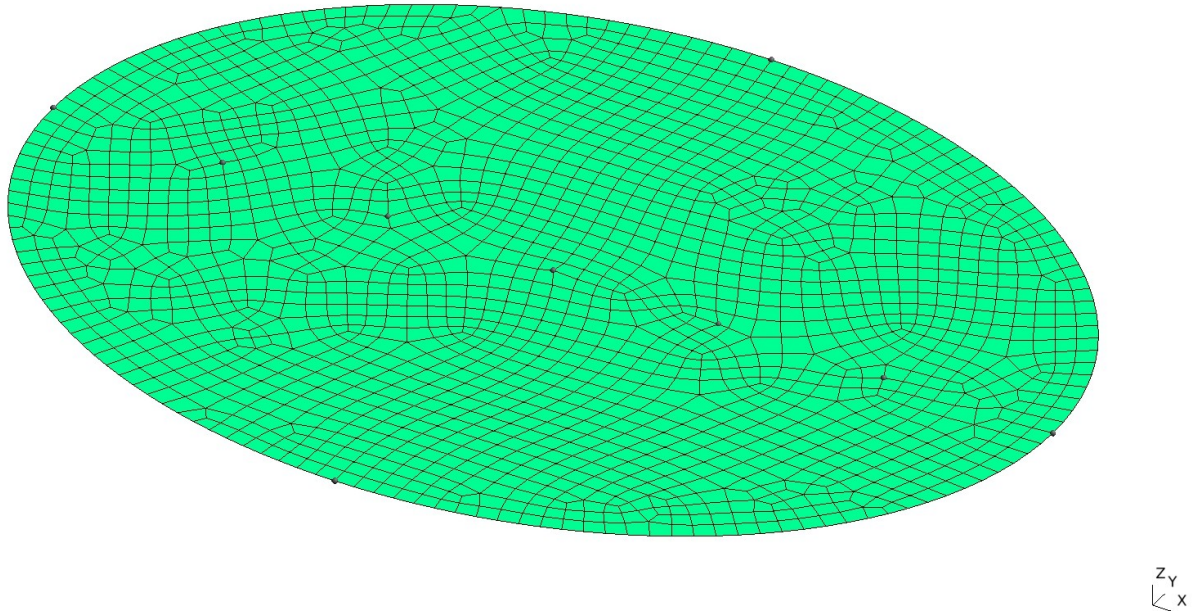


Abbildung 1.3: Vernetzung der Platte

```

T3(coorD[0], coorD[1], coorD[2], font){ "D" };
T3(coorE[0], coorD[1], coorE[2], font){ "E" };
};

```

Die Geometrie mit den Auswertepunkten ist in Abbildung 1.2 dargestellt, während Abbildung 1.3 die Vernetzung zeigt. Für die Vernetzung wurden 25 Elemente entlang der großen Halbachse gewählt.

Das folgende GNU Octave-Skript definiert das Berechnungsmodell, berechnet die ersten 20 Eigenschwingungen und schätzt den Fehler in der Formänderungsenergie ab. Die Komponente sowie die Knotenpunkt-Sets werden für die anschließende transiente Analyse in einer Binärdatei gespeichert,

```

# Übungsblatt 5.4, Aufgabe 1: Elliptische Platte
#                               Modell und Modalanalyse
#
# -----

file = mfilename();
filb = file(1 : end-1);

fid = fopen([file, ".res"], "wt");

# Daten (N, mm, s)

mat = struct("type", "iso",
            "E", 210000, "ny", 0.3, "rho", 7.85E-9);

```

```
geom = struct("t", 2);

nofmod = 20;
fmax = 120;
F = 10;
damping = struct("type", "Rayleigh", "data", [2e-5, 4]);

# Übersetzungsdaten

PLATE = struct("type", "solid", "subtype", "3d");

PLATE.Platte = struct("type", "elements", "name", "s4",
                    "geom", geom, "mat", mat);

PLATE.Last = struct("type", "loads", "name", "point",
                  "data", [0, 0, -F]);

PLATE.Einspannung = struct("type", "constraints",
                          "name", "prescribed",
                          "dofs", [1 : 3, 6]);

PLATE.A = struct("type", "nodeset");
PLATE.B = struct("type", "nodeset");
PLATE.C = struct("type", "nodeset");
PLATE.D = struct("type", "nodeset");
PLATE.E = struct("type", "nodeset");

PLATE.damping = damping;

# Analyse

[model, nset] = mfs_import(fid, [filb, ".msh"], "msh", PLATE);

plate = mfs_new(fid, model);

plate = mfs_stiff(plate);
plate = mfs_mass(plate);
mfs_massproperties(fid, plate);

plate = mfs_freevib(plate, nofmod);
mfs_print(fid, plate, "modes", "freq");
mfs_export("modes.dsp", "msh", plate, "modes", "disp");

mfs_reductionerror(fid, plate, fmax);

save("-binary", [filb, ".bin"], "plate", "nset");

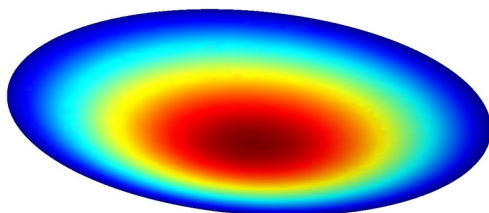
fclose(fid);
```

Die folgende Liste zeigt die Formänderungsenergien und die Fehlerabschätzung:

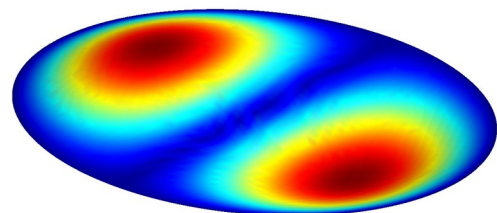
Modal strain energies of component "plate"

Loadcase 1:

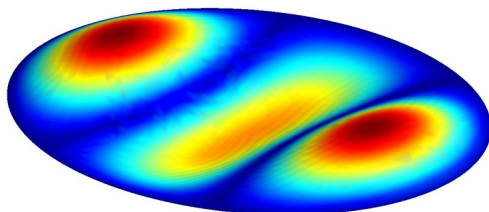
mode	frequency	En/ES	Sum	1 - Sum
1	13.90 Hz	4.36040e-01	0.436040	5.63960e-01
2	32.52 Hz	2.85686e-01	0.721726	2.78274e-01
3	44.55 Hz	1.05681e-10	0.721726	2.78274e-01
4	59.80 Hz	1.43686e-01	0.865411	1.34589e-01
5	70.72 Hz	6.33377e-10	0.865411	1.34589e-01
6	93.20 Hz	1.61173e-04	0.865573	1.34427e-01
7	95.46 Hz	6.05647e-02	0.926137	7.38626e-02
8	104.34 Hz	4.35758e-07	0.926138	7.38622e-02
9	129.13 Hz	6.35671e-04	0.926774	7.32265e-02
10	138.97 Hz	2.09140e-02	0.947687	5.23125e-02
11	145.30 Hz	1.36136e-08	0.947688	5.23125e-02
12	159.26 Hz	8.02222e-09	0.947688	5.23125e-02
13	173.49 Hz	1.77677e-03	0.949464	5.05357e-02
14	189.58 Hz	5.93559e-03	0.955400	4.46001e-02
15	193.42 Hz	4.64881e-07	0.955400	4.45997e-02
16	204.29 Hz	5.50380e-07	0.955401	4.45991e-02
17	227.20 Hz	3.85151e-03	0.959252	4.07476e-02
18	243.21 Hz	5.33733e-07	0.959253	4.07471e-02
19	246.24 Hz	1.42851e-03	0.960681	3.93186e-02
20	248.58 Hz	1.31444e-06	0.960683	3.93172e-02



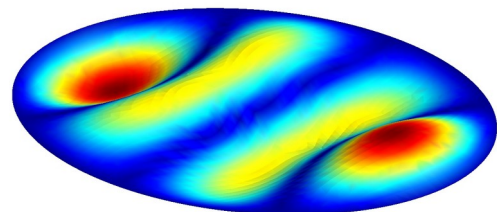
1. Eigenschwingung: 13,90 Hz



2. Eigenschwingung: 32,52 Hz



4. Eigenschwingung: 59,80 Hz



7. Eigenschwingung: 95,46 Hz

Abbildung 1.4: Einige Eigenschwingungen



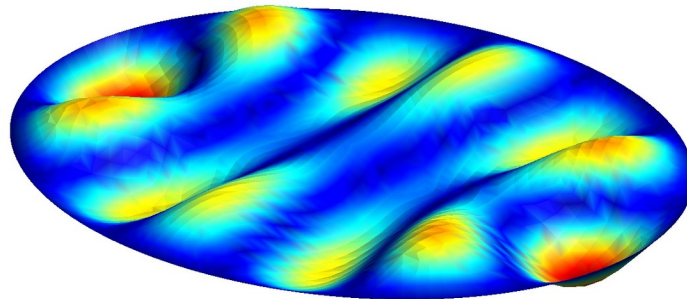


Abbildung 1.5: 19. Eigenschwingung: 246,2 Hz

```
Upper bound on relative strain energy error (fmax = 120.00 Hz)
  with static correction: 1.3761e-02
  without static correction: 3.3420e-02
```

Der Fehler bei Rechnung mit Restmodekorrektur ist kleiner als 1,4 %. Da die Abschneidefrequenz von 120 Hz bereits großzügig gewählt ist, ist diese Genauigkeit ausreichend.

Die wesentlichen Eigenschwingungen im Frequenzbereich bis 120 Hz sind die Eigenschwingungen 1, 2, 4 und 7. Sie sind in Abbildung 1.4 dargestellt. Die höchste berechnete Eigenschwingung, die einen Beitrag zur Antwort liefert, ist die 19. Eigenschwingung. Abbildung 1.5 zeigt, dass die Vernetzung fein genug ist.

### c) Transiente Analyse

Mit einer niedrigsten Frequenz von  $f_1 = 13,90$  Hz und einer höchsten berechneten Frequenz von  $f_{max} = 248,6$  Hz ergibt sich für die längste Periode ein Wert von ca. 0,07 s und für die kürzeste Periode von ca. 4 ms. Basierend auf diesen Werten wird ein Zeitschritt von 0,5 ms und eine Simulationsdauer von 0,4 s gewählt. Damit ergibt sich folgendes GNU Octave-Skript für die Durchführung der transienten Analyse:

```
# Kapitel 5.4, Aufgabe 1: Elliptische Platte
#                               Modale transiente Analyse
#
# -----
#
file = mfilename();
filb = file(1 : end-1);
fid = fopen([file, ".res"], "wt");
```

```

colors = [1, 0, 0; 0, 1, 0; 0, 0, 1; 1, 0, 1; 0, 1, 1];
set(0, "defaultaxescolororder", colors);
set(0, "defaultaxesfontsize", 12);

# Daten

dt = 5e-4; % Zeitschritt
t0 = 0.025; % Impulsdauer
ts = 0.4; % Simulationsdauer

# Komponenten einlesen

load([filb, ".bin"]);

# Last

exci = struct("lc", 1, "func", "pulse", "params", t0);

# Transiente Analyse

plate = mfs_transresp(plate, [dt, ts], "load", exci);

# Auswertung

rid = [nset.A, 3; nset.B, 3; nset.C, 3; nset.D, 3; nset.E, 3];

t = mfs_getresp(plate, "transresp", "time");
u = mfs_getresp(plate, "transresp", "disp", rid);
v = mfs_getresp(plate, "transresp", "velo", rid) * 1e-3;
a = mfs_getresp(plate, "transresp", "acce", rid) * 1e-3;

figure(1, "position", [50, 500, 750, 750],
       "paperposition", [0, 0, 16, 18]);
subplot(3, 1, 1);
plot(t, u);
legend("A", "B", "C", "D", "E", "location", "bestoutside");
set(gca(), "xtick", [0, 0.025, 0.1 : 0.1 : ts]);
grid;
axis("labely");
ylabel('u_z [mm]');
subplot(3, 1, 2);
plot(t, v);
legend("A", "B", "C", "D", "E", "location", "bestoutside");
set(gca(), "xtick", [0, 0.025, 0.1 : 0.1 : ts]);
grid;
axis("labely");
ylabel('v_z [m/s]');
subplot(3, 1, 3);
plot(t, a);
legend("A", "B", "C", "D", "E", "location", "bestoutside");
set(gca(), "xtick", [0, 0.025, 0.1 : 0.1 : ts]);
grid;
xlabel('t [s]');
ylabel('a_z [m/s^2]');
print([file, ".svg"], "-dsvg");

```

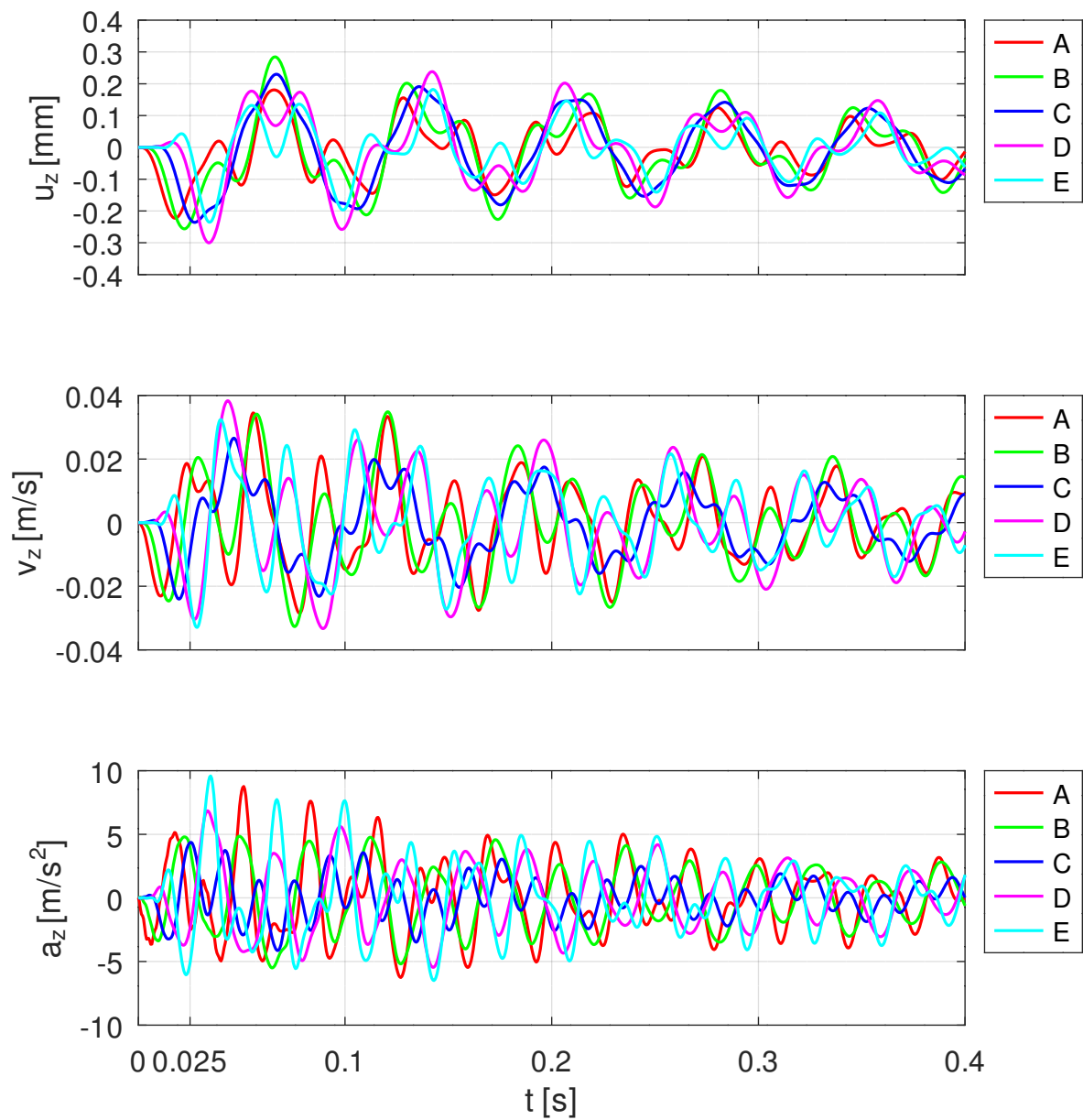


Abbildung 1.6: Ergebnisse

```
fclose(fid);
```

Die Ergebnisse sind in Abbildung 1.6 dargestellt.